



شناسایی خطا و کالیبراسیون تجربی سیستم میکروالکترومکانیکی

شیخی علی‌اکبر^{1*}، پورتاکدوست سید حسین²، کیانی مریم³

- 1- دانشجوی کارشناس ارشد دانشگاه آزاد اسلامی واحد علوم و تحقیقات تهران، دانشکده مهندسی مکانیک و هوافضا
- 2- استاد دانشگاه صنعتی شریف، دانشکده مهندسی هوافضا
- 3- دانشجوی دکتری دانشگاه صنعتی شریف، دانشکده مهندسی هوافضا

(دریافت مقاله: 1393/11/10 تاریخ پذیرش: 1394/03/24)

چکیده

با گسترش روز افزون تکنولوژی و توسعه سنسورهای میکروالکترومکانیکی در کنار الگوریتم‌های تخمين‌پیشرفته، کاربری این گونه سنسورها رشد چشمگیری یافته است. با این وجود، به خاطر خطای زیاد سنسورهای میکروالکترومکانیکی، ناوبری مبتنی بر این سنسورها نیازمند شناسایی خطاهای میکروالکترومکانیکی شده است. از این رو، در این مقاله شناسایی خطا و کالیبراسیون تجربی سنسورهای اینرسی میکروالکترومکانیکی شتاب‌سنجد و ژیروسکوپ مورد توجه قرار گرفته است. در این راستا، با طراحی و انجام تست‌هایی بر روی یک مژول آردینو، خطای تصادفی سنسورهای این مژول به کمک روش آلن واریانس به عنوان مناسب‌ترین روش از دیدگاه سادگی پیاده‌سازی و قابل فهم بودن نتایج، شناسایی شده است. سپس پارامترهای خطای اعم از ضرایب مقیاس، بیاس و ضرایب عدم همترازی این سنسورها با استفاده از الگوریتم حداقل مربعات وزنی محاسبه شده است. آنگاه از تولید کردن خطای برای صحت کالیبراسیون سنسور استفاده شده است.

واژه‌های کلیدی: سیستم میکروالکترومکانیکی، آلن واریانس، شتاب‌سنجد، ژیروسکوپ، حداقل مربعات وزنی

Experimental Calibration and Error Identification of Micro Electro-Mechanical Systems

Abstract

Rapid growth in development of Micro Electro-Mechanical Sensors (MEMS) as well as wide utilization of advanced estimation algorithms have increased application of MEMS in various fields. However, MEMS-based navigation is not efficient without an appropriate sensor calibration due to large amount of MEMS errors. Therefore, error identification and sensor calibration of micro electro-mechanical inertial sensors of gyroscopes and accelerometers have been investigated in the present paper. In this regard, Allan variance as a simple and understandable method has been adopted to identify stochastic errors of the inertial sensors. Then, all error parameters including scale factors, biases, and misalignments have been determined utilizing weighted least square method. Finally, the presentation of error sphere has shown the performance and viability of the inertial MEMS calibration process.

Key words: Micro Electro-Mechanical systems, Allan variance, Accelerometer, Gyroscope, Weighted least squares.

مقدمه

حسگرهای میکروالکترومکانیکی (MEMS) قادرند مقادیر شتاب، سرعت زاویه‌ای، زاویه اولر، فشار، طول و عرض جغرافیایی را اندازه‌گیری کنند. با این وجود دقت این سیستم‌ها با زمان رو به کاهش خواهد بود. همچنین تحت تأثیر ترکیب داده‌ها، اندازه‌گیری‌ها آغشته به انواع مختلف منابع خطأ، از قبیل اغتشاش سنسور، تغییرات بایاس و ناپایداری ضربی انحراف و لغزش می‌باشد. خطاهای مجموعه داده‌های اینرسی که از الگوریتم‌های ناوبری به دست می‌آیند اضافه شده سبب می‌شود داده‌های خروجی ناوبری از مقدار دقیق واقعی اختلاف داشته باشند [1]. بزرگترین مشکل MEMS خطاهای زیاد آن است که با روش‌های گوناگون میانگین‌گیری کاهش می‌باشد.

ژائو [2] جهت شناسایی خطای سیستم ناوبری تلفیقی GPS/INS، از مدل‌سازی خطاهای به عنوان فرآیند گاوس مارکو و روش رگرسیون جهت شناسایی آن‌ها استفاده کرده است.

تمامی اطلاعات مورد نیاز سیستم‌های کنترلی بهطور مستقیم یا غیرمستقیم از سیستم اندازه‌گیری تأمین می‌شود، لذا دقت اندازه‌گیری فاکتوری مهم در عملکرد کلی سیستم‌های ناوبری و کنترل یک وسیله محسوب می‌گردد. از این رو دسترسی به اندازه‌گیری دقیق با استفاده از سیستم‌های اندازه‌گیری ارزان همواره چالشی فراوری مهندسین در تمامی عرصه‌ها بوده است. در مراجع کمتر از فیلترهای توانمند برای کالیبراسیون سیستم‌های اندازه‌گیری بهره گرفته شده است. از این رو، پژوهه حاضر به کالیبراسیون سیستم اندازه‌گیری ارزان قیمت با استفاده از الگوریتم‌های فیلترینگ می‌پردازد تا خروجی‌های دقیق‌تری در اختیار سیستم کنترل قرار دهد.

در این مقاله پس از مقدمه، ابتدا شناسایی خطای تصادفی سنسورها به کمک روش آلن واریانس شرح داده شده و سپس مازول تست معرفی شده و خطاهای شناسایی شده این سنسورها ارائه شده است. در ادامه، کالیبراسیون پارامترهای خطای اندازه‌گیری اعم از ضرایب مقیاس، بایاس و ضرایب عدم همترازی به کمک روش الگوریتم حداقل مربعات خطی طی تست‌های متعدد طراحی شده توصیف شده و نتایج به دست آمده برای سنسورهای مورد بررسی ارائه می‌گردد. بخش پایانی نیز بیان مختصری از نتایج می‌باشد.

شناسایی خطای تصادفی

روش منحنی آلن واریانس یکی از عمومی‌ترین و پرکاربردترین ابزاری است که برای تحلیل مشخصات اغتشاش شتاب‌سنجه و ژیروسکوپ‌ها مورد استفاده قرار می‌گیرد [3و4]. این واریانس به عنوان نیمی از متوسط زمانی مربعات اختلاف بین اندازه‌گیری‌های بی‌درپی انحراف فرکانس نمونه‌برداری شده در طول دوره نمونه‌برداری تعریف می‌شود.

بنا به تحقیقات انجام شده، آلن واریانس یک روش تحلیل در حوزه زمان است که براساس استاندارد جهانی IEEE برای ژیروسکوپ‌ها به شماره استاندارد IEEE STD 647.2006 ارائه شده است [5,6و7].

تابع طیف توان (PSD) یکی دیگر از روش‌های موجود برای شناسایی خطای یک سیگنال می‌باشد. PSD را می‌توان در فرآیندی به صورت زیر محاسبه کرد: رابطه (1)، P توان سیگنال $x(t)$ و رابطه (2) تبدیل فوریه سیگنال $(t)x$ و در آخر نیز فرمول (3)، PSD سیگنال را در اختیار قرار می‌دهد.

$$P = \lim_{T \rightarrow \infty} \frac{1}{2T} \int_{-T}^T x(t)^2 dt \quad (1)$$

$$\hat{x}_T(\omega) = \frac{1}{\sqrt{T}} \int_0^T x(t) e^{-i\omega t} dt \quad (2)$$

$$S_{xx}(\omega) = \lim_{T \rightarrow \infty} E[|\hat{x}_T(\omega)|^2]. \quad (3)$$

آلن واریانس در مقایسه با تابع چگالی طیف توان از پیچیدگی کمتری برای تحلیل یک سیگنال برخوردار است. حال به روابط موجود که جهت محاسبات آلن واریانس استفاده شده است می‌پردازیم [8و9].

$$\sigma_y^2(\tau) = 2 \int_0^{f_h} S_y(f) \frac{\sin^4(\pi\tau f)}{(\pi\tau f)} df \quad (4)$$

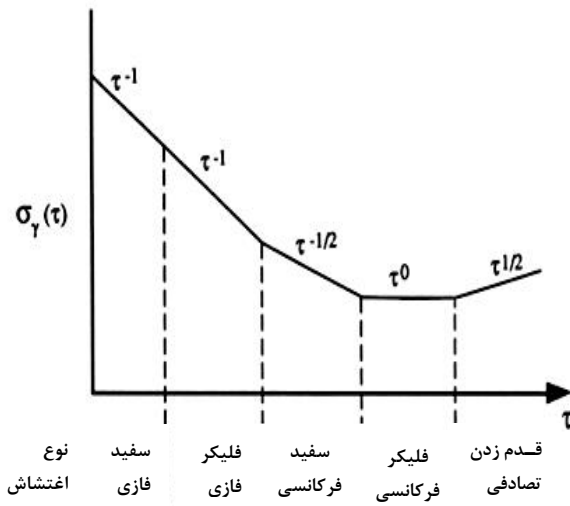
البته باید توجه نمود که رابطه (4) را می‌توان بسط داد و به فرم رابطه (5) تبدیل نمود.

$$\sigma_y^2(\tau, N) = \frac{1}{2\tau^2(N-2)} \sum_{i=0}^{N-3} (X_{i+2} - 2X_{i+1} + X_i)^2 \quad (5)$$

که در آن:

• N تعداد نمونه‌ها از دنباله زمانی،

مثبت شدن شیب با مقدار $\tau^{1/2}$ اغتشاش سنسور دارای مدل قدمزدن تصادفی است.



شکل ۱- نمونه منحنی تحلیلی نتیجه داده‌ها با واریانس آلن

معرفی مازول تست مورد آزمون

در مدارات مجتمع قرار گرفته بر روی برد MEMS آردوینو مورد بررسی (شکل ۲)، شتابسنج ADXL335 به اندازه‌گیری شتاب در راستای هر سه محور می‌پردازد. از دیگر قابلیت‌های ADXL335 می‌توان به توانایی اندازه‌گیری در محدوده $3g \pm$ اشاره نمود.

مجموعه حسگر سرعت زاویه‌ای برد آردوینو متشکل از یک سنسور IDG500، یک سنسور ژیروسکوپ دو محور X-Y که در آن یک فیلتر پایین گذر سخت افزاری استفاده شده است، و یک سنسور ISZ500 که برای اندازه‌گیری سرعت زاویه‌ای در امتداد محور Z مورد استفاده قرار می‌گیرد. حساسیت دمایی سنسور IDG500 در بازه ۲۰-۸۵ درجه سانتی‌گراد، ۴ میلی ولت بر درجه سانتی‌گراد می‌باشد.

مراحل مختلف تست‌های انجام شده

نتایج به دست آمده در این بخش حاصل یک داده‌برداری استاتیک پنج ساعته از شتابسنج و ژیروسکوپ است که به صورت سریال و از طریق مازول‌های XBee pro به صورت بی‌سیم با فرکانس داده‌برداری صد هرتز در اختیار قرار گرفته است.

- τ^0 میانگین زمانی در واحد ثانیه و
- X دنباله زمانی خروجی اندازه‌گیری شده سنسور است. به عنوان مثال، خروجی ژیروسکوپ متأثر از چندین مدل اغتشاش است. مدل‌های غالب اغتشاش عبارتند از: اختلال تدریجی، نرخ قدمزدن تصادفی، زاویه قدمزدن تصادفی، پایداری بایاس و نرخ شیب. اگر منابع اغتشاش مستقل آماری باشند، در این صورت واریانس آلن همان‌طور که رابطه (6) نشان می‌دهد، مجموعی از مربعات واریانس‌های هر یک از خطاهای می‌باشد:

$$\sigma^2(\tau) = \sigma_{av}^2(\tau) + \sigma_b^2(\tau) + \sigma_{mv}^2(\tau) + \sigma_r^2(\tau) \quad (6)$$

جدول ۱ انواع خطاهای تصادفی ژیروسکوپ و شتابسنج‌ها را به کمک واریانس آلن توصیف می‌کند (استاندارد IEEE STD 952TM برای شتابسنج و استاندارد STD 647,2006 برای ژیرو).

جدول ۱- پارامترهای انواع خطاهای ژیروسکوپ

نوع خطأ	واریانس آلن (τ^2)	ضریب خطأ	PSD (S(f))
خطای کوانتیزاسیون	$\frac{3Q^2}{\tau^2}$	Q	$(2\pi f)Q^2\tau$
نرخ قدمزدن تصادفی	$\frac{N^2}{\tau}$	N	N^2
خطای لرزش (فلیکر)	$\frac{2B^2Ln2}{\pi}$	B	$(\frac{B^2}{2\pi})\frac{1}{f}$
زاویه قدمزدن تصادفی	$\frac{k^2\tau}{3}$	K	$(\frac{k}{2\pi})^2\frac{1}{f}^2$
خطای شیب	$\frac{R^2\tau^2}{2}$	R	$\frac{R^2}{(2\pi f)^3}$

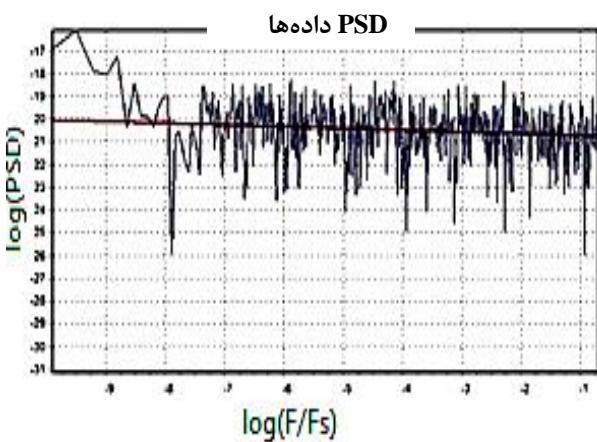
در جدول ۱، $S_y(f)$ تابع چگالی طیف و f_h برش فرکانس بالا از یک فیلتر پایین گذر است. همان‌طور که در شکل ۱ مشاهده می‌شود، هنگامی که شیب منحنی نمونه برداری برابر τ^0 باشد اغتشاش داده‌های سنسور دارای اغتشاش سفید فازی و بعد آن با همین شیب اغتشاش فلیکر فاز و هرگاه شیب برابر τ^0 باشد اغتشاش آن بصورت اغتشاش سفید فرکانسی و وقتی τ^0 یعنی عدم وجود شیب اغتشاش فلیکر فرکانسی و با

منحنی PSD و آلن واریانس شتابسنج Y نیز بهترتیب در شکل 5 و شکل 6 آورده شده است. بررسی منحنی آلن واریانس این شتابسنج، خطای تصادفی این محور را $10^{-4} \times 2/2643$ متر بر مجدور ثانیه برآورد می‌کند. منحنی PSD و آلن واریانس شتابسنج Z نیز بهترتیب در شکل 7 و شکل 8 آورده شده است. بررسی منحنی آلن واریانس این شتابسنج، مقدار خطای تصادفی این محور را $10^{-4} \times 3659/3$ متر بر مجدور ثانیه اعلام می‌کند.

نتایج به دست آورده شده از تحلیل آلن واریانس ژیروسکوپ نیز در اشکال 9 الی 14 و به طور خلاصه در جدول 3 آورده شده است.

جدول 3- نحوه محاسبه آلن واریانس از روی منحنی برای شتابسنج برای ژیروسکوپ

زازو	ذایرو	شیب	X محور	نقطه‌ای از محور X منحنی که محور Y آلن واریانس	Wارد رادیان واریانس
محور X	-0/5		$\tau=1$	0/0025	
	0		--	$6/241 \times 10^{-5}$	
	+0/5		$\tau=3$	$1/3248 \times 10^{-6}$	
محور Y	-0/5		$\tau=1$	0/0048	
	0		--	1×10^{-4}	
	+0/5		$\tau=3$	$3/4299 \times 10^{-6}$	
محور Z	-0/5		$\tau=1$	0/0045	
	0		--	$1/44 \times 10^{-4}$	

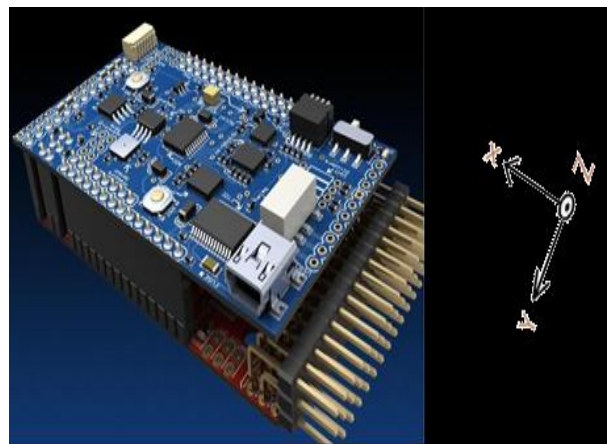


شکل 3- نمودار چگالی طیفی ورودی شتابسنج X

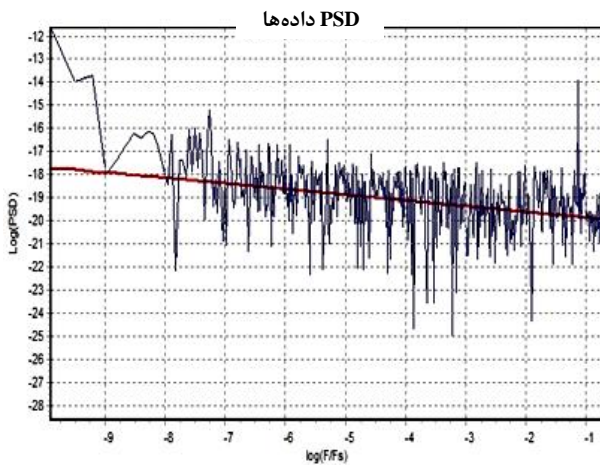
منحنی PSD و واریانس آلن شتابسنج راستای X به ترتیب در شکل 3 و شکل 4 نشان داده شده است. در شکل 4 مشاهده می‌شود که این منحنی دارای چهار شیب متفاوت به ترتیب (-0/5)، (0)، (+0/5) و (+0/5) است. این منحنی دارای قدمزدن تصادفی است، باشید، انحراف معیار نظیر واریانس این خطاهای در جدول 2 آورده شده است. با توجه به این نتایج به دست آورده شده و رابطه (6)، واریانس کلی شتابسنج در راستای محور X برابر است با $8/3414 \times 10^{-5}$ متر بر مجدور ثانیه.

جدول 2- نحوه محاسبه آلن واریانس از روی منحنی برای شتابسنج

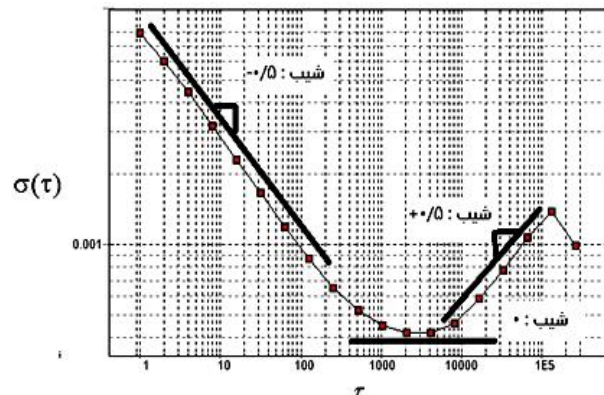
محور	منحنی که محور Y آلن واریانس	شیب منحنی	نقطه‌ای از محور X منحنی که محور Y آلن واریانس	انحراف معیار (m/s^2)
محور X	-0/5	$\tau=1$		$6/241 \times 10^{-5}$
	0	--		$1/764 \times 10^{-7}$
	+0/5	$\tau=3$		$4/549 \times 10^{-10}$
محور Y	-1	$\tau=1/73$		0/4225
	-0/5	$\tau=1$		$6/889 \times 10^{-5}$
	0	$\tau=3$		$1/318 \times 10^{-6}$
محور Z	-0/5	$\tau=1$		$2/56 \times 10^{-4}$
	0	--		$1/44 \times 10^{-6}$
	+0/5	$\tau=3$		$2/9656 \times 10^{-7}$



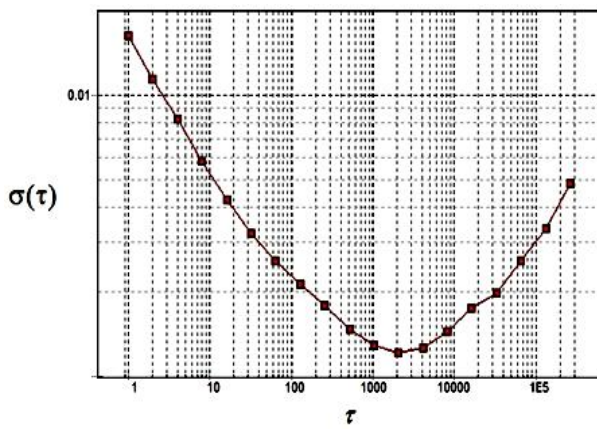
شکل 2- برد الکترونیکی MEMS آردینو
به همراه نمایش راستای محورها



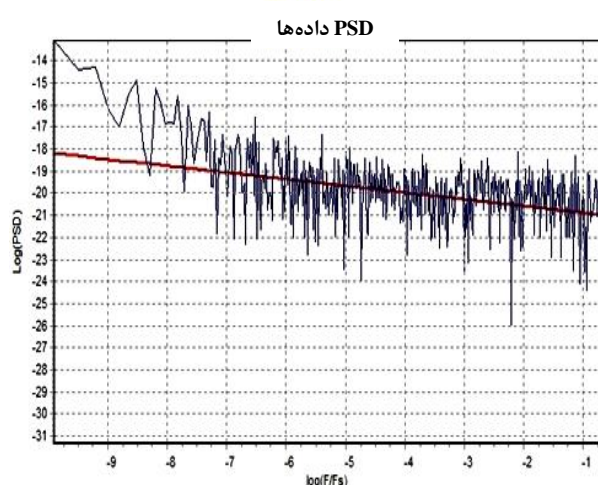
شکل 7- منحنی چگالی طیفی ورودی شتاب‌سنج Z



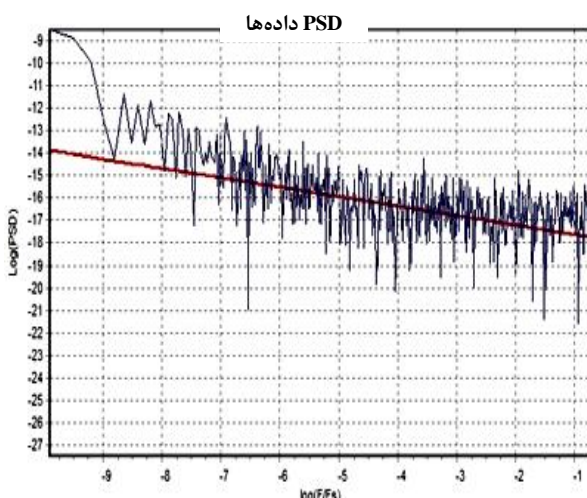
شکل 4- منحنی واریانس آلن و نمایش شیب منحنی شتاب‌سنج X



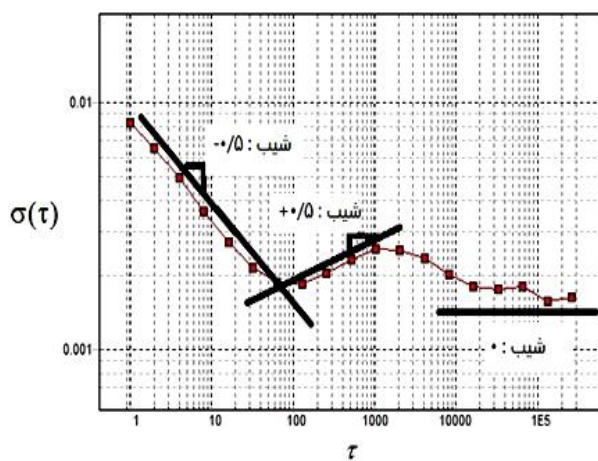
شکل 8- منحنی آلن واریانس حاصل از داده‌های پنج ساعته شتاب‌سنج Z



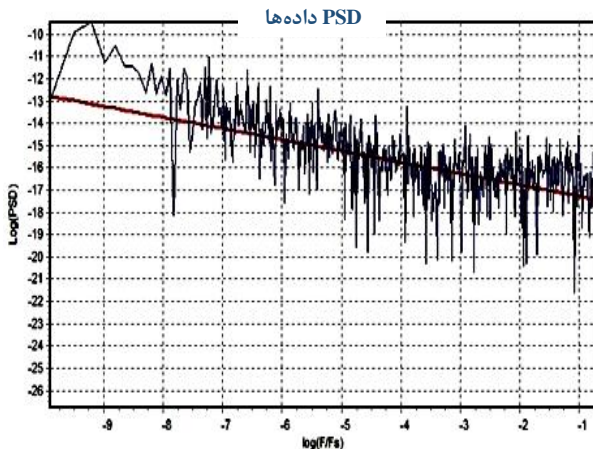
شکل 5- نمودار چگالی طیفی ورودی شتاب‌سنج Y



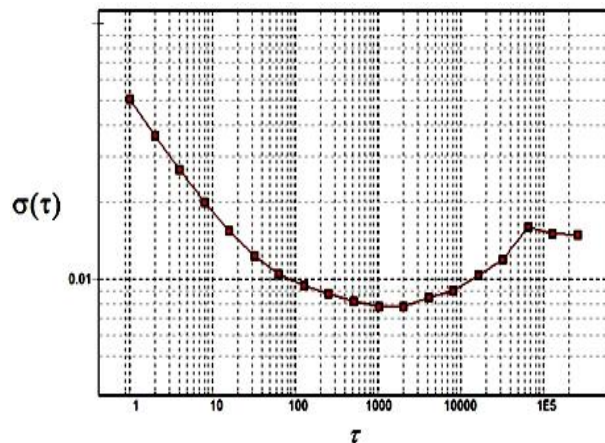
شکل 9- منحنی PSD حاصل از داده‌برداری پنج ساعته ژایروسکوپ X



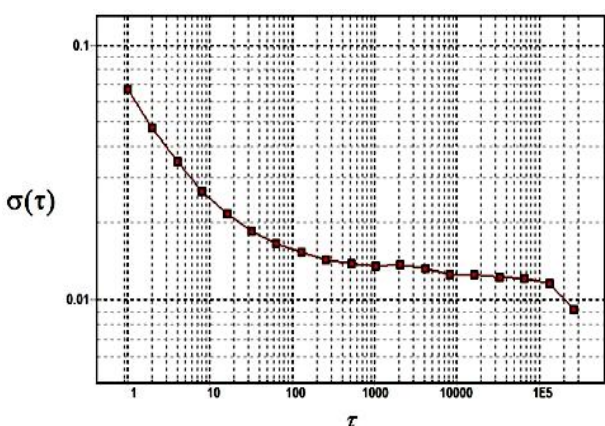
شکل 6- منحنی واریانس آلن و نمایش شیب منحنی شتاب‌سنج Y



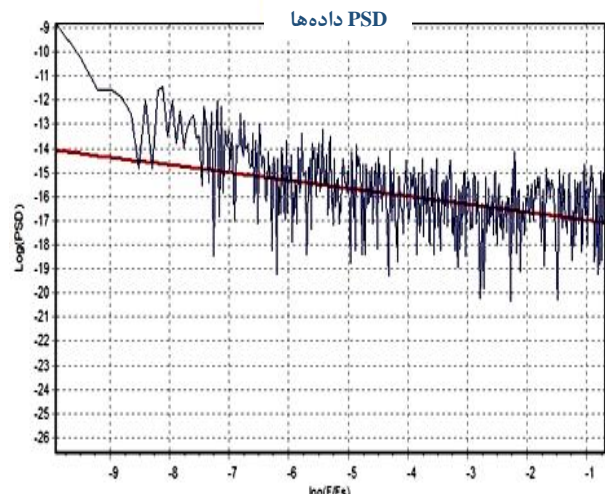
شکل 13- منحنی لگاریتمی PSD حاصل از داده‌برداری پنج ساعته ژایروسکوپ Z



شکل 10- منحنی آلن واریانس مربوط به ژایروسکوپ X



شکل 14- منحنی لگاریتمی آلن واریانس مربوط به ژایروسکوپ Z

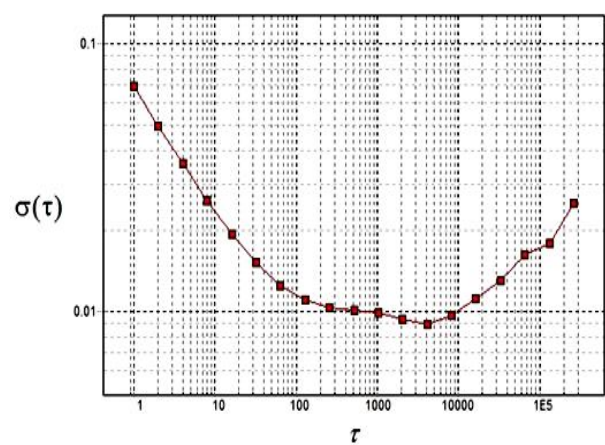


شکل 11- منحنی PSD حاصل از داده‌برداری Y پنج ساعته ژایروسکوپ Y

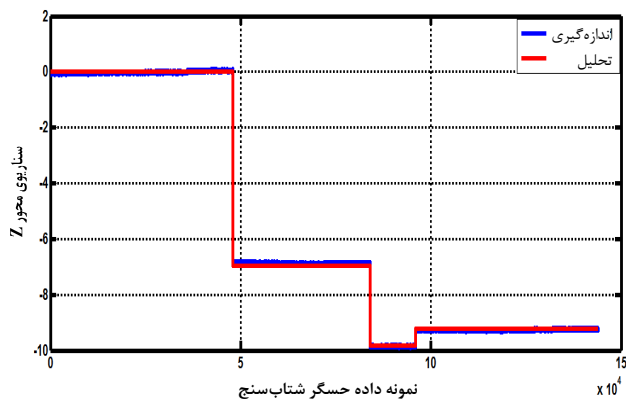
کالیبراسیون تجربی سنسورهای اینرسی میکروالکترومکانیکی به همراه تست‌های آزمایشگاهی کالیبراسیون شتاب‌سنج مبتنی بر اندازه‌گیری شتاب جاذبه در راستاهای متعدد معین است. شتاب‌سنج‌ها به صورت زیر مدل‌سازی شده‌اند:

$$\begin{aligned}\tilde{a}_x &= B_x + S_x \times a_x + M_{xy} \times a_y + M_{xz} \times a_z \\ \tilde{a}_y &= B_y + M_{yx} \times a_x + S_y \times a_y + M_{yz} \times a_z \\ \tilde{a}_z &= B_z + M_{zx} \times a_x + M_{zy} \times a_y + S_z \times a_z\end{aligned}\quad (7)$$

در روابط بالا \tilde{a}_x مقدار تحلیلی شتاب در راستای x مقدار بایاس، S_x ضریب مقیاس و M_{xy} عدم هم‌ترازی می‌باشد. قابل ذکر است که ضریب عدم هم‌ترازی برای سنسور ADXL335



شکل 12- منحنی آلن واریانس مربوط به ژایروسکوپ Y



شکل 17- سناریوهای اندازه‌گیری شده به همراه داده‌های تحلیلی جهت مقایسه خطاب برای شتاب‌سنج Z

جدول 4- ضرایب خطای معین شتاب‌سنج ADXL335 از الگوریتم حداقل مربعات خطی

مقدار	پارامتر
[0/9802, 1/0408, 1/0457]	ضرایب مقیاس
[0/1935, 0/1331, 0/3291]	بایاس (m/s^2)
x-y: 0/0123 x-z: 0/0063	
y-x: 0/0272 y-z: 0/0260	ضریب عدم همترازی
z-x: -0/0121 z-y: 0/0039	

تعريف سناریو بر روی میز تیلت و ایندکس در زوایای مختلف جهت داده‌برداری

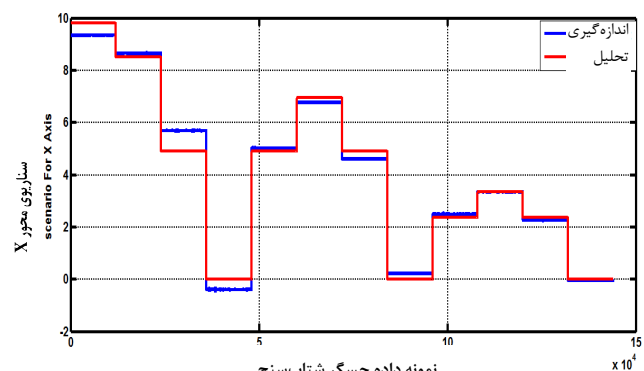
حال اگر ضرایب به دست آمده از این روش را در مقدار اندازه‌گیری شده ضرب نماییم مقدار کالیبره شده به دست خواهد آمد. تفاضل مقادیر کالیبره شده و تحلیلی خطای کالیبراسیون را به دست می‌دهد که یکه شده و در سه بعد، کره خط را به دست خواهد داد. در این کره هرچه پراکندگی کمتر باشد، بدین معناست که کالیبراسیون بهتر صورت پذیرفته است. نقاط پراکندگی در شکل 18 نشان‌دهنده اختشاش‌های ناخواسته معین می‌باشد.

اکنون مشابه با فرآیند کالیبراسیون شتاب‌سنج، سنسور ژایرو IDG500، که ژایرو X-Y است و به همراه سنسور ژایرو ISZ500 برای محور Z یک ژایرو سه محوری تکمحوره موجود در آزمایشگاه با سرعت‌های زاویه‌ای متفاوتی طبق شکل 19 الى 21 تحریک می‌شود.

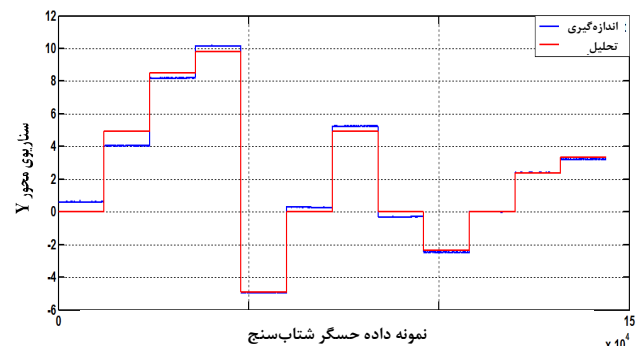
کاملاً نامتقارن در نظر گرفته شده است. با معلوم بودن میزان شتاب تحلیلی در محل آزمایش و در اختیار قرارگیری خروجی سنسور شتاب‌سنج، پارامترهای کالیبراسیون را می‌توان به سادگی به کمک الگوریتم حداقل مربعات خطی تعیین نمود.

اجرای سناریوهای مختلف تست در آزمایشگاه سخت‌افزار در حلقه

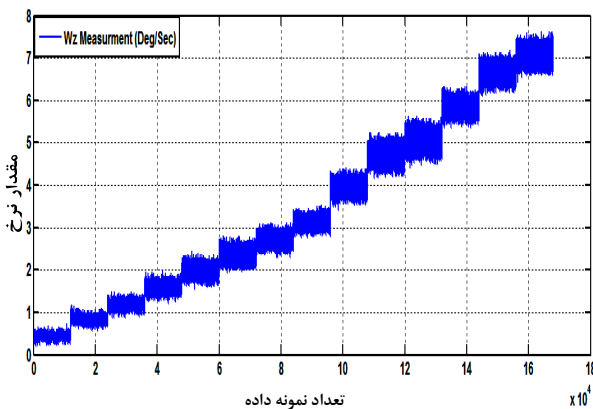
شتاب جاذبه در محل آزمایشگاه در زمان انجام تست برابر 9/8215 متر بر مجذور ثانیه می‌باشد. اسکال 15 الى 17 سناریوهای تغییر زاویه را توصیف می‌کنند. هر سناریو با فرکانس صد هرتز و به مدت مدت زمان لازم دو دقیقه اندازه‌گیری شده است. ضرایب خطای به دست آمده در جدول 4 گزارش شده است.



شکل 15- سناریوهای اندازه‌گیری شده به همراه داده‌های تحلیلی جهت مقایسه خطاب برای شتاب‌سنج X

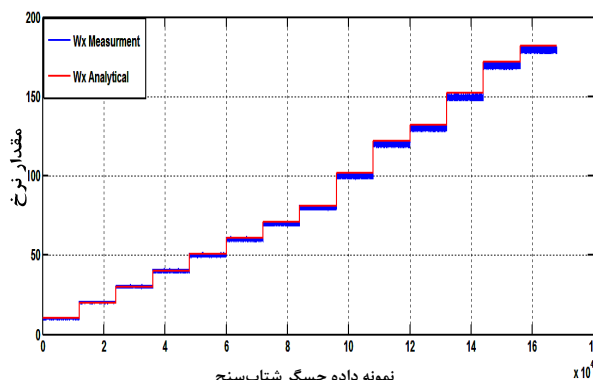


شکل 16- سناریوهای اندازه‌گیری شده به همراه داده‌های تحلیلی جهت مقایسه خطاب برای شتاب‌سنج Y



شکل 21- منحنی سناریوهای تعریف شده جهت اندازه‌گیری برای محور Z بر حسب درجه بر ثانیه

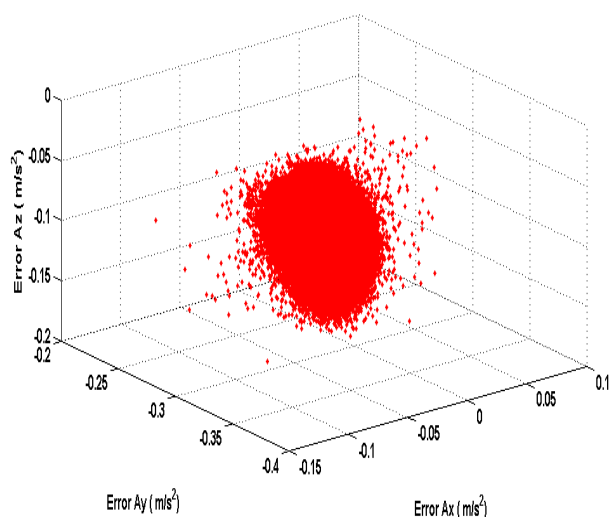
نمودار خطای مربوط به سناریوهای یاد شده یعنی اختلاف مقدار تحلیلی (منحنی قرمز) و اندازه‌گیری (منحنی آبی) نیز به طور نمونه برای محور X در شکل 22 آورده شده است. به وضوح مشاهده می‌گردد که در سرعت زاویه‌ایی بالا مقدار اندازه‌گیری دارای نوسان بیشتری می‌باشد.



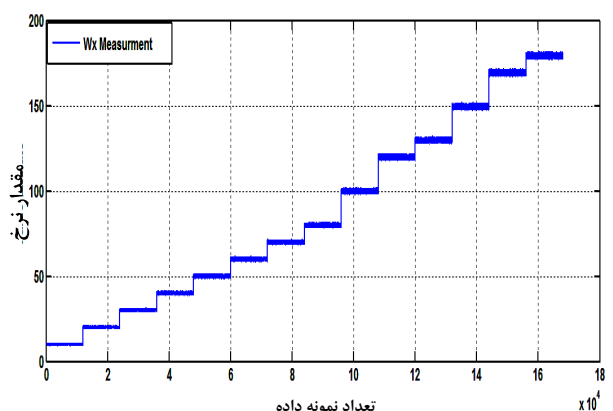
شکل 22- نمایش اختلاف مقدار تحلیلی و اندازه‌گیری در راستای محور X، واحد درجه بر ثانیه

اینک با استفاده از الگوریتم حداقل مربعات و معادلات (8) که نحوه مدل‌سازی ژایرو را نشان می‌دهند، می‌توان به راحتی ضرایب کالیبراسیون را به دست آورد.

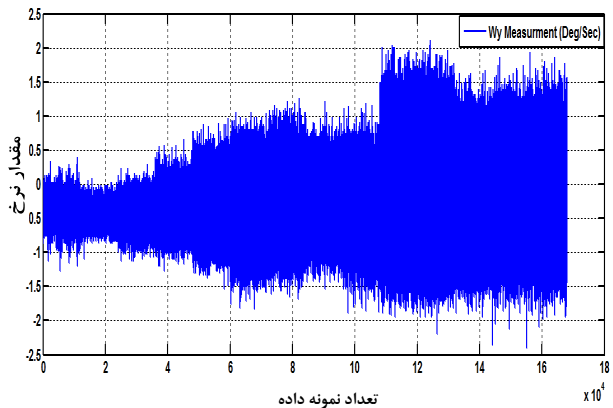
$$\begin{aligned}\tilde{\omega}_x &= B_x + S_x \times \omega_x + M_{xy} \times \omega_y + M_{xz} \times \omega_z \\ \tilde{\omega}_y &= B_y + M_{yx} \times \omega_x + S_y \times \omega_y + M_{yz} \times \omega_z \\ \tilde{\omega}_z &= B_z + M_{zx} \times \omega_x + M_{zy} \times \omega_y + S_z \times \omega_z\end{aligned}\quad (8)$$



شکل 18- نمایش سه بعدی کره خطا حاصل از تست‌های مختلف که واحد خطا متر بر مجدور ثانیه



شکل 19- منحنی سناریوهای تعریف شده جهت اندازه‌گیری برای محور X بر حسب درجه بر ثانیه



شکل 20- منحنی سناریوهای تعریف شده جهت اندازه‌گیری برای محور Y بر حسب درجه بر ثانیه

شده، انواع متنوع خطاهای این سنسورها و واریانس آن‌ها در راستای هر سه محور شناسایی و ارائه گردیده است. در ادامه با قرار دادن شتابسنج در وضعیت‌های متعدد و تحریک ژایروسکوپ با سرعت‌های زاویه‌ای متفاوت در امتداد هر سه محور، ضرایب مقیاس، بایاس و عدم همترازی به کمک الگوریتم حداقل مربعات خطی به دست آمده است. پیشنهاد می‌گردد جهت انجام تست کالیبراسیون، شرایط آزمایشگاهی ثابت و عاری از هرگونه اغتشاش محیطی انتخاب گردد.

منابع و مراجع

- [1] Cenk Acar and Andrei Shkel, *MEMS Vibratory Gyroscopes Structural Approaches to Improve Robustness*, University of California, Irvine, June 2008.
- [2] Yueming Zhao, *GPS/IMU Integrated System for Land Vehicle Navigation based on MEMS*, Royal Institute of Technology (KTH) Division of Geodesy and Geo-informatics 12244 Stockholm Sweden, September 2011.
- [3] P.Petkov, T.Slavov, *Stochastic Modeling of MEMS Inertial Sensors*, Cybernetics and information technologies, vol. 10, 2010.
- [4] VÁGNER, M, *MEMS GYROSCOPE PERFORMANCE COMPARISON USING ALLAN VARIANCE METHOD*, pp. 199-203, 28.04.2011.
- [5] IEEE Std 1139- 1988, *IEEE Standard Definitions of Physical Quantities for Fundamental Frequency and Time Metrology*, pp. 1-20, 20 October 1988.
- [6] I. S. 9.-1. (R2008), *IEEE Standard Specification Format Guide and Test Procedure for Single-Axis Interferometric Fiber Optic Gyros*, pp. 1-77, 16 September 1997.
- [7] IEEE Std 1293™-1998 (R2008), *IEEE Standard Specification Format Guide and Test Procedure for Linear Single-Axis, Nongyroscopic Accelerometers*, pp. 1-233, 25 September 1998.
- [8] Songlai Han , Jinling Wang , Nathan Knight, *USING ALLAN VARIANCE TO DETERMINE THE CALIBRATION MODEL OF INERTIAL SENSORS FOR GPS/INS INTEGRATION*, 6th International Symposium on Mobile Mapping Technology, Presidente Prudente, São Paulo, Brazil, July 21-24, 2009.
- [9] Sanket R. Amin, *DETERMINING THE UNCERTAINTY OF A GPS-BASED COLLISION VEHICLE DETECTION SYSTEM*, A Thesis in Mechanical Engineering.The Pennsylvania State University The Graduate School College of Engineering, pp. 1-119, August 2011.

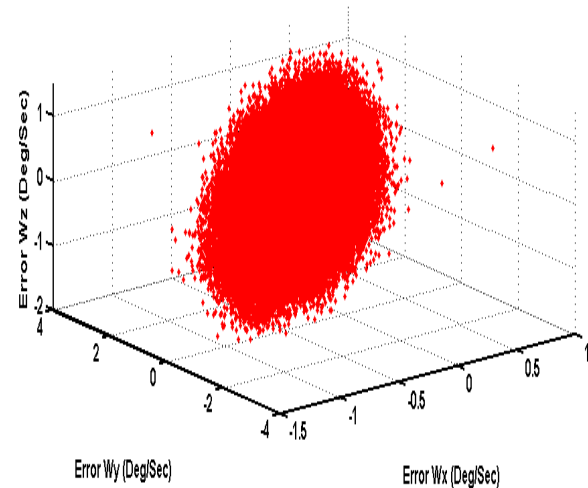
ضرایب کالیبراسیون به دست آمده برای سنسور ژایروسکوپ IDG500 در جدول ۵ آورده داده شده است.

جدول ۵- ضرایب خطای معین ژایرو IDG500 از الگوریتم حداقل

مربعات خطی

پارامتر	مقدار
ضرایب مقیاس	[0/9957, 0/9829]
بایاس (دانیه/درجه)	[-0/0067, -0/0068, $3/3831 \times 10^{-5}$]
x-y: -0/1149 x-z: 0/764	
y-x: 1/0049 y-z: -0/141	
ضریب عدم همترازی	z-x: -0/1176 z-y: -0/165

شکل 23 کره خطای ژایروسکوپ را نشان می‌دهد. نقاط پراکنده اطراف این کره ناشی از خطاهای تصادفی می‌باشند.



شکل 23- نمایش کره خطای حاصل از تست‌های مختلف با استفاده از ضرایب کالیبراسیون برای ژایرو IDG500

بحث و نتیجه‌گیری

در این مقاله شناسایی و مدل‌سازی خطاهای تصادفی شتابسنج و ژایروی سنسور الکترومکانیک آردوینو مورد بررسی قرار گرفته است. در این راستا، ابتدا بستر تست جهت نصب سنسور روی میز نرخی دقیق و دریافت خروجی و اخذ داده‌ها از طریق تله متري اقدام شده است. متعاقباً آزمایشات تجربی بلند مدتی برای این سنسورها تدارک دیده شد. سپس با توجه به استانداردهای موجود در این زمینه و همچنین به کمک روش واریانس آلن برای تحلیل تصادفی سیگنال‌های به دست آورده